= РАЛИАЦИОННАЯ ГЕНЕТИКА =

УЛК 575.174.015.3:611.018.53:614.876:539.1.047

СПЕКТР ВАРИАНТОВ ПОСЛЕДОВАТЕЛЬНОСТИ ГЕНА *ТР53* У ХРОНИЧЕСКИ ОБЛУЧЕННЫХ ЛЮДЕЙ

© 2024 г. В. С. Никифоров^{1,2,*}, А. В. Кореченкова¹, А. В. Аклеев^{1,2}

¹Уральский научно-практический центр радиационной медицины ФМБА России, Челябинск
²Челябинский государственный университет, Челябинск

*E-mail: nikiforovx@mail.ru

Поступила в редакцию 15.05.2023 г. После доработки 13.06.2024 г. Принята к публикации 24.07.2024 г.

Известно, что ионизирующее излучение способно повреждать генетический аппарат клетки не только за счет прямого воздействия, но и посредством индукции оксидативного стресса. Так, в результате окисления азотистого основания гуанина (G) продуктами оксидативного стресса могут возникать трансверсии типа G:C>T:A и G:C>C:G в гене-супрессоре опухолевого роста TP53. В свою очередь, соматические и наследуемые варианты гена ТР53 имеют большое значение в развитии злокачественных новообразований. В связи с этим, целью исследования явился анализ трансверсий G:C>T:A и G:C>C:G гена ТР53 в клетках периферической крови, лиц, подвергшихся хроническому низкоинтенсивному радиационному воздействию. Представлены результаты анализа спектра вариантов последовательности гена TP53 на основе трансверсий G:C>T:A и G:C>C:G в клетках периферической крови у жителей прибрежных сел реки Течи Челябинской и Курганской областей, которые в 1950-х годах подверглись хроническому низкоинтенсивному радиационному воздействию. Диапазон индивидуальных значений накопленной поглощенной дозы облучения красного костного мозга за счет внешнего γ -излучения и 90 Sr составил от 2.1 до 2742.0 мГр (среднее значение -605.4 ± 191.9 мГр ($M \pm SE$)). В результате исследования у обследованных лиц в было выявлено семь различных вариантов гена TP53 на основе трансверсий G:C>T:A и G:C>C:G, представляющих собой однонуклеотидные замены. Все обнаруженные варианты присутствовали в базе данных IARC TP53 Database и не имели клинического значения как «патогенные» или «вероятно патогенные». Различия частот носителей обнаруженных вариантов гена TP53 между группой сравнения и основной группой не достигали статистически значимого уровня.

Ключевые слова: TP53, rs77697176, секвенирование по Сэнгеру, река Теча, хроническое облучение, малые и средние дозы

DOI: 10.31857/S0869803124050028, EDN: LNXKON

Клеточная ДНК постоянно окисляется в результате действия различных эндогенных и экзогенных агентов, в том числе и ионизирующего излучения, а возникающее в результате этого повреждения ДНК могут повышать риск развития рака и других заболеваний [1]. Гуанин имеет самый низкий окислительно-восстановительный потенциал из четырех оснований ДНК [2] и, следовательно, наиболее легко окисляется. Окисление гуанина в результате оксидативного стресса может приводить к трансверсиям. Как правило, 8-оксо-7,8-дигидрогуанин (8-охоG), который является одним из наиболее распространенных окислительных повреждений ДНК, вызывает трансверсии G:C>T:A [3], в то время как 2,5-диаминоимидазол-4-он (Iz, 2,5-diamino-4Himidazol-4-one), являющийся еще одним прямым продуктом окисления гуанина, способен вызывать трансверсии G:C>C:G [4-7].

Во время репликации ДНК включение аденина напротив продукта окисления гуанина вызывает трансверсию G:C>T:A, тогда как включение гуанина напротив продукта окисления гуанина вызывает трансверсию G:C>C:G. Эти мутации обнаружены во многих важных генах и, в частности, в сайтах СрG в гене — супрессоре опухоли ТР53 [8]. Кроме того, в результате репликации ДНК в стволовых клетках могут возникать нонсенс-мутации G:C>T:A, которые составляют до 60 % от всех нонсенс-мутаций в генах — супрессорах опухолей [9].

ТР53 расположен на коротком плече хромосомы 17 (17р13). Он содержит 11 экзонов, охватывающих 20 тысяч оснований, и кодирует ядерный фосфопротеин массой 53 кДа. Первоначально он считался онкогеном, но генетические и функциональные данные, полученные через 10 лет после его открытия доказали, что он является супрессором опухоли.

Инактивация функции *TP53* или сопутствующих ему путей является общей чертой опухолей человека, которая часто коррелирует с повышенной злокачественностью, плохой выживаемостью пациентов и резистентностью к лечению [10].

Трансверсии G>T могут быть вызваны действием различных канцерогенных факторов, в частности показаны замены G>T в гене *TP53* при раке легкого у курильщиков [11], при раке кожи, вызванном действием УФ-излучения [12]. В исследованиях на мышах, подвергшихся воздействию нейтронов и у-излучения, наблюдалась положительная корреляция между числом переходов C:G>T:A и T:A>C:G и продолжительностью роста опухоли молочной железы. При этом в спектре мутаций замен одной пары оснований преобладали переходы C:G>T:A, и это было характерно как для спонтанных карцином молочной железы, так и для карцином, индуцированных нейтронами и у-излучением [13].

В связи с этим целью исследования явился анализ трансверсий G:C>T:A и G:C>C:G гена *TP53* в клетках периферической крови у лиц, подвергшихся хроническому низкоинтенсивному радиационному воздействию.

МАТЕРИАЛЫ И МЕТОДИКА

Характеристика исследуемых групп

Секвенирование по Сэнгеру гена *ТР53* было проведено для 17 женщин из когорты р. Теча (КРТ) [14]. Использовались следующие критерии включения в исследуемые группы:

- 1) облученные лица из когорты р. Теча проживавшие в одном из 41 сел, расположенных на побережье р. Теча, в период с 01.01.1950 по 31.12.1960 г.;
- 2) наличие рассчитанной индивидуальной поглощенной накопленной дозы облучения красного костного мозга (ККМ), тимуса и периферических лимфоидных органов.

Критерии исключения:

1) наличие у обследованных лиц онкологических, аутоиммунных, острых или хронических (период обострения) воспалительных заболеваний в течение последних трех месяцев.

Средний возраст всех женщин составил $71,0 \pm 1.4$ год $(M \pm SE)$, а возрастной диапазон: 58.0-82.0 лет. Возраст участников исследования указан на момент взятия образца крови. По этнической принадлежности наблюдалось следующее распределение: доля женщин славянского происхождения составила 53% (девять человек), представительниц тюркской языковой группы -47% (восемь человек). Индиви-

дуальные дозы облучения ККМ у женщин из основной группы составляли от 2.1 до 2742.0 мГр (среднее значение — 605.4 ± 191.9 мГр ($M \pm SE$)). Индивидуальные накопленные дозы облучения тимуса и периферических лимфоидных органов находились в диапазоне от 0.8 до 197.3 мГр (среднее значение — 50.4 ± 13.7 мГр ($M \pm SE$)) [14, 15].

Условное разделение на основную группу и группу внутреннего контроля (далее группа сравнения) представлено на рис. 1.

В основную группу вошли 10 женщин с накопленными дозами облучения ККМ от 135.8 до 2742.0 мГр (среднее значение — 1003.9 ± 261.5 мГр). В группу сравнения были включены семь женщин из КРТ, чьи дозы облучения ККМ не превышали 100 мГр (среднее значение накопленной поглощенной дозы в этой группе составило — 36.1 ± 9.7 мГр).

Выделение ДНК и секвенирование

Источником ДНК служили образцы цельной крови, которые хранились в биобанке лаборатории молекулярно-клеточной радиобиологии ФГБУН УНПЦ РМ ФМБА России при температуре –80°С. ДНК выделяли методом органической экстракции с помощью набора реагентов Extra Phen (ООО НПФ «АТГ-Биотех», Россия). Количество ДНК и чистоту образцов ДНК оценивали с помощью спектрофотометра NanoDrop 2000 (Thermo Scientific, США). Значения отношения A260/A280 находились в интервале 1.7–1.9. С помощью программы Primer DesignerTMTool (Thermo Scientific, США) были выбраны праймеры для ПЦР фрагментов ДНК, перекрывающих 2–11-й экзоны гена ТР53, и их секвенирования по Сэнгеру (табл. 1).

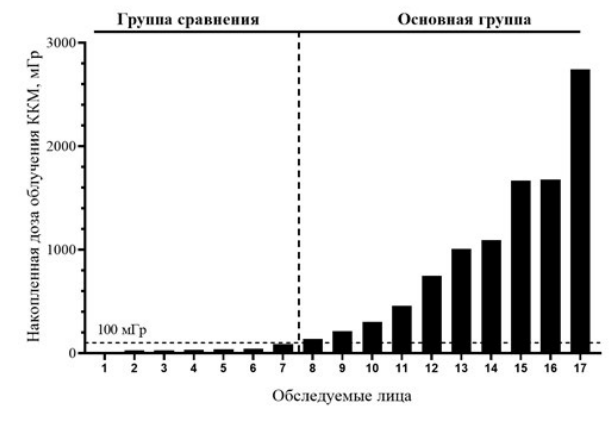


Рис. 1. Разделение обследованной выборки на группу сравнения и основную группу в зависимости от накопленной дозы облучения KKM.

Fig. 1. Division of the examined sample into a comparison group and a main group depending on the accumulated radiation dose of the red bone marrow.

Таблица 1. Праймеры для ПЦР фрагментов ДНК, перекрывающих 2–11-й экзоны гена *TP53* **Table 1.** Primers for PCR of DNA fragments covering exons 2–11 of the TP53 gene

№ п/п	AB #	Последовательности праймеров (5′→3′)	№ ампли- фикации	Длина, п.н.
1	Hs00346583_CE	F: GGGACTGTAGATGGGTGAAAAGAG R: CTGTCTCAGACACTGGCATGGT	1	463
2	Hs00346582_CE	F: GAATCCCAAAGTTCCAAACAAAGAA R: AGACTTCCTGAAAACAACGTTCTG	2	500
3	Hs00818498_CE	F: GAGAGATGCTGAGGGTGTGATG R: CTGGGCTTCTTGCATTCTGG	3	274
4	Hs00346581_CE	F: GTGAACAGATAAAGCAACTGGAAGAC R: ATCCCATCACACCCTCAGCATCT	4	511
5	Hs00346580_CE	F: CTCATAGGGCACCACCACACTA R: CTGAGGTGTAGACGCCAACTCT	5	517
6	Hs00424883_CE	F: GGGAGGCCCTTAGCCTCTGTAA R: TTTGCCAACTGGCCAAGACC	6	546
7	Hs00346578_CE	F: AAAGAGAAGCAAGAGGCAGTAAGG R: CTTGCCACAGGTCTCCCCAAG	7	497
8	Hs00346577_CE	F: TGTTGTTGGGCAGTGCTAGGA R: CATACTACTACCCATCCACCTCTC	8	494
9	Hs00494729_CE	F: CATCTGTATCAGGCAAAGTCATAGAAC R: CAGAGGAAGAGAATCTCCGCAAGAA	9	506
10	Hs00516544_CE	F: TAAAAGTAGGCTAGGCAGGCC R: AAGGACCAGACCAGCTTTCAA	10	531
11	Hs00439701_CE	F: GGCTGGGAGTTGCGGAGAAT R: GCAGTTTCTACTAAATGCATGTTGCTT	11	488
12	Hs00462018_CE	F: GGACAGCTTCCCTGGTTAGTACGG R: GGGTGTGGCCACCATCTTGA	12	566
13	Hs00454657_CE	F: CAAGTCTTGGTGGATCCAGATCAT R: CCACTGAACAAGTTGGCCTGC	13	578
14	Hs00346570_CE	F: TTCACCCCTCAGACACAGGT R: TCCCACACCCTGGAGGATTTCAT	14	543
15	Hs00346569_CE	F: GGCTCAGCCTTGCTAAATCAGA R: CAGCTGGAAGGGTCAACATCTT	15	493

Состав ПЦР-смеси для амплификации и условия проведения реакции представлены в табл. 2. ПЦР проводили в амплификаторе C1000TMThermalCycler (Bio-Rad, США).

Наличие целевого продукта в ПЦР-смеси после проведения амплификации оценивали с помощью

агарозного гель-электрофореза. С помощью набора ExoSAP-IT (Thermo Fishrer, USA) осуществлялась ферментативная очистка продуктов ПЦР.

По завершении очистки проводили секвенирующую реакцию. На 5'-конце праймеров для ПЦР находился универсальный сайт прикрепления

Таблица 2. Состав ПЦР-смеси для амплификации соответствующих ампликонов **Table 2.** Composition of the PCR mixture for amplification of the corresponding amplicons

№ ампли- кона	Условия ПЦР (объем ПЦР-смеси 10 мкл)									
	Мастермикс	Объем*	10 мкмоль/л Frw	10 мкмоль/л Rev	GCen- hancer	dH_20	ДНК**	T _a ***, °C		
№ 1	360 MasterMix***	5	0.3	0.3	0.5	1.9	2	58		
№3-11, 13-15	360 MasterMix	5	0.2	0.2	-	3.6	1	60		
№2, 12	360 MasterMix	5	0.3	0.3	-	2.4	2	58		

Примечание. * Объемы выражены в мкл; ** образцы ДНК нормировали до концентрации 20 нг/мкл; *** T_a — температура отжига праймеров; **** AmpliTaq GoldTM360 MasterMix — готовая смесь для ПЦР.

секвенирующих праймеров (М13). Олигонуклеотиды были синтезированы фирмой Invitrogen (США), последовательности: Forward — GTTGTAAAACGACGGCCAGTG, Reverse — AGCGGATAACAATTTCACACAGGA. Для секвенирования использовали BigDyeTM Terminator v3.1 Cycle Sequencing Kit (Thermo Fisher, США). Секвенирующие смеси очищали с помощью BigDyeXTerminatorTM Purification Kit (Applied Biosystems, США).

Статистический анализ

Сборку контиг, выравнивание последовательностей, сравнение с референтной последовательностью гена TP53 (NG_017013.2) выполняли с помощью программы SeqScapev2.7 (Thermo Fisher, США). Биологическое значение детектированных вариантов анализировали с помощью базы данных IARC TP53 Database [16]. Значимость различий частоты встречаемости носителей вариантов секвенированной в нашем исследовании последовательности TP53-гена между основной группой и группой сравнения оценивали с помощью точного теста Фишера. Уровень статистической значимости установили p < 0.05. Расчеты производили с помощью ПО Statistica V. 10.0.

РЕЗУЛЬТАТЫ И ОБСУЖДЕНИЕ

Секвенирование экзонных (2—11-й экзоны) и фланкирующих интронных регионов гена *TP53* в образцах геномной ДНК всех обследованных женщин выявило семь различных вариантов, представляющих собой однонуклеотидные замены. Один

вариант находился в кодирующем регионе: rs1042522 в обогащённом пролином домене. Шесть вариантов находились в некодирующей области гена: rs17879353 и rs199729221 в 3'HTO, а rs1642785, rs17883323, rs12947788 и rs77697176 представляли интронные варианты. Ни один из обнаруженных вариантов по данным ClinVar не имел клинического значения как «патогенный» или «вероятно патогенный» (https://www.ncbi.nlm.nih.gov/clinvar/). Все из обнаруженных нами вариантов присутствовали в базе данных IARC *TP53* Database [16]. Обнаруженные варианты последовательности представлены в табл. 3.

На сегодняшний день наиболее широко изучен несинонимичный полиморфизм в домене, богатом пролином, расположенном в экзоне 4, где замена цитозина на гуанин приводит к замене пролина (Рго) на аргинин (Arg) в колоне 72 белка р53 (Arg72Pro. rs1042522). Эти два аллеля различаются по способности индуцировать транскрипцию гена-мишени, модулировать апоптоз с разной скоростью и взаимодействовать с белком р73 [17]. Вариант р53, имеющий полиморфный сайт и кодирующий аргинин (G), обладает более сильным апоптотическим потенциалом, в то время как вариант, кодирующий пролин (С), по-видимому, вызывает более высокий уровень задержки фазы G1 [18]. Частоты аллелей полиморфизма варьируются в разных популяциях и зависят от этнической принадлежности и географического положения. Так, в исследовании Dale L. Bodian et al. среди здоровых людей до 50 лет частота кодирующей аргинин (G) формы кодона 72 составляет 74.1% у европейцев и 37.2% у африканской субпопуляции [19]. В другом исследовании

Таблица 3. Описание обнаруженных вариантов гена *TP53* у обследованных женщин из **KPT Table 3.** Description of identified *TP53* gene variants in the examined women of the Techa River cohort

№	Геномная ДНК	кДНК	RefSNP	Экзон/интрон	№ кодона	Тип замены
1	g.7676483G>C	c.74+38C>G	rs1642785	2-intron	0	Интронный вариант*
2	g.7676301G>T	c.97-29C>A	rs17883323	3-intron	0	Интронный вариант
3	g.7676154G>C	c.215C>G	rs1042522	4-exon	72	Миссенс**
4	g.7674109G>A	c.782+72C>T	rs12947788	7-intron	0	Интронный вариант
5	g.7673183G>A	c.993+352C>T	rs77697176	9-intron	0	Интронный вариант
6	g.7668996G>T	c.*613C>A	rs17879353	11-exon	0	3'HTO***
7	g.7668855G>A	c.*754C>T	rs199729221	11-exon	0	3'HTO

Примечание. * Замена в области интрона; ** Миссенс вариант (с изменением аминокислотной последовательности); *** 3′ – нетранслируемая область.

Таблица 4. Наличие вариантов гена *TP53* у обследованных женщин **Table 4.** Presence of *TP53* gene variants in the examined women

Г	Замены								
Группы	№ варианта*	1	2	3	4	5	6	7	
	8_135,8	<u>G</u>	С	<u>G</u>	С	С	С	С	
	9_212,0	<u>G</u>	С	<u>G</u>	С	С	С	С	
Та	10_301,1	<u>G</u>	С	<u>G</u>	С	С	<u>M</u>	С	
)y III	11_459,4	<u>S</u>	С	<u>S</u>	С	С	С	Ţ	
ĮT RI	12_749,5	<u>G</u>	С	<u>G</u>	С	С	С	<u>T</u>	
Основная группа	13_1006,4	<u>G</u>	С	<u>G</u>	С	С	С	<u>T</u>	
)снс	14_1092,0	С	С	С	С	С	С	<u>T</u>	
O	15_1665,4	<u>G</u>	С	<u>G</u>	С	С	С	С	
	16_1675,2	<u>S</u>	С	<u>S</u>	С	С	С	С	
	17_2742,0	<u>S</u>	С	<u>S</u>	<u>Y</u>	С	С	С	
	1_2,1	<u>G</u>	С	<u>G</u>	С	<u>Y</u> ****	С	Т	
ния	2_26,2	<u>G</u>	С	<u>G</u>	С	<u>Y</u>	С	С	
Группа сравнения	3_27,5	С	<u>M</u> ***	С	<u>Y</u>	С	С	<u>T</u>	
	4_31,5	<u>G</u>	С	<u>G</u>	С	T	С	С	
	5_36,5	<u>G</u>	С	<u>G</u>	С	С	С	<u>T</u>	
	6_42,1	<u>S</u> **	<u>M</u>	<u>S</u>	С	С	С	С	
	7_86,7	<u>G</u>	С	<u>G</u>	С	С	С	<u>T</u>	

Примечание. * Номер варианта от 1 до 7 соответствует номеру варианта гена *ТР53*, описанному в табл. 4. Описание обнаруженных вариантов гена *ТР53* у обследованных женщин из КРТ. Подчеркнутые нуклеотиды — выявленная замена. Нуклеотидная последовательность приведена в соответствии с IUPAC кодировкой [Nomenclature Committee of the International Unionof Biochemistry (NC-IUB) (1986). Nomenclature for incompletely specified bases in nucleic acid sequences. Recommend]; ** S — замена G или C; *** M — замена A или C; **** Y — замена C или T.

Р.Т. Diamantopoulos et al. сообщают, что среди больных хроническим лимфоцитарным лейкозом (медианный возраст пациентов составлял 70 лет) 98.6% обследованных имели полиморфный сайт, кодирующий аргинин (G) [20]. Однако данные о связи полиморфизма rs1042522 с риском развития злокачественных новообразований носят противоречивый характер и не дают однозначных ответов.

Согласно данным литературы, обнаруженные интронные варианты с.74+38С>G (rs1642785), с.782+72С>Т (rs12947788) демонстрируют наличие связи с рисками развития злокачественных новообразований в ряде исследований [21–22], что вызывает споры о их клинической значимости. В свою очередь, полиморфизмы rs77697176 (с.993+352С>Т), rs17883323 (с.97-29С>А), rs17879353 (с.*613С>А) и rs199729221 (с.*754С>Т) не имеют достоверной ассоциации с заболеваниями, в частности, полиморфизм rs77697176 не вносит вклад в повышение риска развития колоректального рака [23].

Варианты последовательности гена *TP53*, обнаруженные для каждой обследованной женщины, представлены в табл. 4.

В табл. 5 представлены частоты встречаемости носителей вариантов гена *TP53* в основной группе и группе сравнения.

Как видно из данных, различия частот носителей обнаруженных вариантов гена *ТР53* между группой сравнения и основной группой не достигали статистически значимого уровня. Вариант последовательности гs77697176, находящийся в 9-м интроне, был выявлен у трех женщин из группы сравения и не встречался среди женщин из основной группы. Вероятность различия между группой сравнения и основной группой для этого варианта составила 0.051.

Однонуклеотидные замены могут иметь характерные паттерны, которые коррелируют с воздействием радиации. Так, описаны специфические мутационные сигнатуры, характерные для облучения [11, 13, 24]. Например, переходы С→Т часто встречаются в ДНК облученных клеток и могут быть

Таблица 5. Частота встречаемости гомо- и гетерозиготных носителей вариантов гена *ТР53* в основной группе и группе сравнения

Table 5. Frequency of occurrence of homo- and heterozygous carriers of *TP53* gene variants in the main group and comparison group

			Основна (n =		Группа ср (n =		
	RefSNP	MAF**, %	число обследованных *	частота, %	число обследованных	частота, %	p
1	rs1642785	0.42	9	0.90	6	0.86	1.000
2	rs17883323	0.08	0	0.00	2	0.29	0.154
3	rs1042522	0.46	9	0.90	6	0.86	1.000
4	rs12947788	0.18	1	0.10	1	0.14	1.000
5	rs77697176	0.02	0	0.00	3	0.43	0.051
6	rs17879353	0.01	1	0.10	0	0.00	1.000
7	rs199729221	< 0.01	4	0.40	4	0.57	0.637

Примечание. * Учитывались носители и гомозиготных, и гетерозиготных генотипов, содержащих вариантный аллель; ** усредненная частота минорного аллеля для европеоидных популяций (http://www.ensembl.org).

результатом дезаминирования цитозина под действием активных форм кислорода, образовавшихся в следствие воздействия ионизирующего излучения [24]. Такие специфические мутационные паттерны могут указывать на то, что ионизирующее излучение могло сыграть ключевую роль в их возникновении. Однако для точного ответа на вопрос, являются ли данные замены радиационно-индуцированными, требуется проведение дополнительных исследованием с изучением кровных родственников исследуемых лиц, а также оценки профиля мутаций в других биоматериалах участников исследования.

ЗАКЛЮЧЕНИЕ

Таким образом, в результате анализа трансверсий G:C>T:A и G:C>C:G гена *TP53* в клетках периферической крови у облученных лиц в отдаленные сроки после хронического радиационного воздействия было выявлено семь различных вариантов, представляющих собой однонуклеотидные замены. Ни один из обнаруженных вариантов не имел клинического значения как «патогенный» или «вероятно патогенный», а различия частот носителей обнаруженных вариантов гена *TP53* между группой сравнения и основной группой не достигали статистически значимого уровня.

В дальнейшем будет проведено сравнительное исследование трансверсий G:C>T:A гена *TP53* у облученных лиц, имеющих онкологические заболевания, с облученными лицами без таковых.

ФИНАНСИРОВАНИЕ

Исследование выполнено при финансовой поддержке Федерального медико-биологического агентства в рамках выполнения федеральной целевой программы «Обеспечение ядерной и радиационной безопасности на 2016—2020 годы и на период до 2030 года» (контракт № 27.501.21.2 от 11.06.2021 г).

КОНФЛИКТ ИНТЕРЕСОВ

Авторы декларируют отсутствие явных и потенциальных конфликтов интересов, связанных с публикацией настоящей статьи.

ИНФОРМИРОВАННОЕ СОГЛАСИЕ НА УЧАСТИЕ В ИССЛЕДОВАНИИ

Все участники исследования до включения в исследование добровольно подписали форму информированного согласия, утвержденную в составе протокола исследования этическим комитетом Φ ГБУН УНПЦ РМ Φ МБА России (протокол № 2 от 13 апреля 2023 г.).

СПИСОК ЛИТЕРАТУРЫ

- 1. Kasai H. What causes human cancer? Approaches from the chemistry of DNA damage. *Genes Environ*. 2016;38:19. https://doi.org/10.1186/s41021-016-0046-8
- 2. Steenken S., Jovanovic S.V. How easily oxidizable is DNA? One-electron reduction potentials of adenosine and guanosine radicals in aqueous solution.

- *J. Am. Chem. Soc.* 1997;119(3):617–618. https://doi.org/10.1021/ja962255b
- 3. Kino K., Hirao-Suzuki M., Morikawa M. et al. Generation, repair and replication of guanine oxidation products. *Genes Environ*. 2017;39:21. https://doi.org/10.1186/s41021-017-0081-0
- 4. Kino K., Sugiyama H. Possible cause of G-C-->C-G transversion mutation by guanine oxidation product, imidazolone. *Chem. Biol.* 2001;8(4):369-378. https://doi.org/10.1016/s1074-5521(01)00019-9
- 5. Jiang D., Rusling J.F. Oxidation Chemistry of DNA and p53 Tumor Suppressor Gene. *Chem. Open.* 2019;8(3):252-265.
- https://doi.org/10.1002/open.201800292

 6. Kino K., Sugiyama H. UVR-induced G-C to C-G transversions from oxidative DNA damage. *Mutat. Res.* 2005;571(1-2):33-42. https://doi.org/10.1016/j.mrfmmm.2004.10.010
- 7. Ming X., Matter B., Song M. et al. Mapping structurally defined guanine oxidation products along DNA duplexes: influence of local sequence context and endogenous cytosine methylation. *J. Am. Chem. Soc.* 2014;136(11):4223-4235. https://doi.org/10.1021/ja411636j
- 8. Khaled H.M., Bahnassi A.A., Zekri A.R. et al. Correlation between p53 mutations and HPV in bilharzial bladder cancer. *Urol. Oncol.* 2003;21(5):334-341. https://doi.org/10.1016/s1078-1439(03)00014-0
- 9. Zhang M., Yang D., Gold B. Origins of nonsense mutations in human tumor suppressor genes. *Mutat. Res.* 2021;823:111761. https://doi.org/10.1016/j.mrfmmm.2021.111761
- Daver N.G., Maiti A., Kadia T.M. et al. TP53-Mutated Myelodysplastic Syndrome and Acute Myeloid Leukemia: Biology, Current Therapy, and Future Directions [published correction appears in Cancer Discov. 2022 Dec. 2;12(12):2954. https://doi.org/10.1158/2159-8290 CD-22-1192]. Cancer. Discov. 2022;12(11):2516-2529. https://doi.org/10.1158/2159-8290.CD-22-0332
- 11. Pfeifer G.P., Denissenko M.F., Olivier M. et al. Tobacco smoke carcinogens, DNA damage and p53 mutations in smoking-associated cancers. *Oncogene*. 2002;21(48):7435-7451. https://doi.org/10.1038/sj.onc.1205803
- 12. Dumaz N., Drougard C., Sarasin A., Daya-Grosjean L. Specific UV-induced mutation spectrum in the p53 gene of skin tumors from DNA-repair-deficient xero-derma pigmen-tosum patients. *Proc. Nat. Acad. Sci.* 1993;90(22):10529–1053.
- https://doi.org/10.1073/pnas.90.22.10529
 13. Moriyama H., Daino K., Ishikawa A. et al. Exome of Radiation-induced Rat Mammary Carcinoma Shows Copy-number Losses and Mutations in Human-relevant Cancer Genes. *Anticancer Res.* 2021;41(1):55-70. https://doi.org/10.21873/anticanres.14751
- 14. Дегтева М.О., Напье Б.А., Толстых Е.И. и др. Распределение индивидуальных доз в когорте людей, облученных в результате радиоактивного загрязнения реки Течи. *Мед. радиология и радиац. безопасность*. 2019;64(3):46—53. [Degteva M.O., Napier B.A., Tolstykh E.I. et al. Individual Dose Distribution in

- Cohort of People Exposed as a Result of Radioactive Contamination of the Techa River. *Medical Radiology and Radiation Safety*. 2019;64(3):46-53. (In. Russ.)]. https://doi.org/10.12737/article 5cf2364cb49523.98590475
- 15. Аклеев А.В., Варфоломеева Т.А., Блинова Е.А. и др. Возможности адаптации к малым дозам радиации. Челябинский государственный университет, Уральский научно-практический центр радиационной медицины ФМБА России. Санкт-Петербург: ООО «Изд-во «СпецЛит»; 2019. 111 с. ISBN 978-5-299-01004-6. [Akleev A.V., Varfolomeeva T.A., Blinova E.A. i dr. Vozmozhnosti adaptacii k malym dozam radiacii = Possibilities of adaptation to low doses of radiation. Cheljabinskij gosudarstvennyj universitet, Ural'skij nauchno-prakticheskij centr radiacionnoj mediciny FMBA Rossii. Sankt-Peterburg: Obshhestvo s ogranichennoj otvetstvennost'ju "Izdatel'stvo "SpecLit"; 2019. 111 s. ISBN 978-5-299-01004-6. (In. Russ.)].
- Bouaoun L., Sonkin D., Ardin M. et al. TP53 Variations in Human Cancers: New Lessons from the IARC TP53 Database and Genomics Data. Hum. Mutat. 2016;37(9):865-876. https://doi.org/10.1002/humu.23035
- 17. Dumont P., Leu J.I., Della Pietra A.C. 3rd. et al. The codon 72 polymorphic variants of p53 have markedly different apoptotic potential. *Nat. Genet.* 2003;33(3):357–365. https://doi.org/10.1038/ng1093
- 18. Pim D., Banks L. p53 polymorphic variants at codon 72 exert different effects on cell cycle progression. *Int. J. Cancer*. 2004;108(2):196.199. https://doi.org/10.1002/ijc.11548
- 19. Bodian D.L., McCutcheon J.N., Kothiyal P. et al. Germline variation in cancer-susceptibility genes in a healthy, ancestrally diverse cohort: implications for individual genome sequencing. *PLoS One*. 2014;9(4):e94554. https://doi.org/10.1371/journal.pone.0094554
- 20. Diamantopoulos P.T., Samara S., Kollia P. et al. Tumor Protein 53 Gene Mutations Without 17p13 Deletion Have No Significant Clinical Implications in Chronic Lymphocytic Leukemia. Detection of a New Mutation. *Anticancer Res.* 2017;37(5):2387–2391. https://doi.org/10.21873/anticanres.11577
- 21. Jha P., Jha P., Pathak P. et al. TP53 polymorphisms in gliomas from Indian patients: Study of codon 72 genotype, rs1642785, rs1800370 and 16 base pair insertion in intron-3. *Exp. Mol. Pathol.* 2011;90(2):167–172. https://doi.org/10.1016/j.yexmp.2010.11.002
- 22. Zhang G., Xu Q., Liu J. et al. Five P53 SNPs Involved in Low Rectal Cancer Risk and Prognosis in a Chinese Population. *J. Cancer*. 2019;10(7):1772–1780. https://doi.org/10.7150/jca.26722
- 23. Škereňová M., Halašová E., Matáková T. et al. Low Variability and Stable Frequency of Common Haplotypes of the TP53 Gene Region in Colorectal Cancer Patients in a Slovak Population. *Anticancer Res.* 2017;37(4):1901–1907.
- https://doi.org/10.21873/anticanres.11528

 24. Lee C.L., Mowery Y.M., Daniel A.R. et al. Mutational landscape in genetically engineered, carcinogeninduced, and radiation-induced mouse sarcoma.

 JCI Insight. 2019;4(13):e128698.

 https://doi.org/10.1172/jci.insight.128698

Spectrum of *TP53* Sequence Variants on Chronically Exposed Humans

V. S. Nikiforov^{1,2,*}, A. V. Korechenkova¹, A. V. Akleyev^{1,2}

¹Federal State Government-Funded Institution of Science Urals Research Center for Radiation Medicine of the Federal Medical Biological Agency, Chelyabinsk, Russia

²Chelyabinsk State University, Chelyabinsk, Russia

*E-mail: nikiforovx@mail.ru

It is known that ionizing radiation can damage the genetic apparatus of a cell not only through direct exposure, but also through the induction of oxidative stress. Thus, oxidation of guanine (G) nitrogenous base by oxidative stress products can result in G:C>T:A and G:C>C:G type transversions in the tumor growth suppressor gene TR53. Somatic and inherited variants of the TP53 gene, in its turn, are of great importance in the development of malignant neoplasms. Therefore, the aim of the study was to analyze the G:C>T:A and G:C>C:G transversions of the TP53 gene in peripheral blood cells of individuals affected by chronic low-dose rate exposure. The paper presents the results of the analysis of the spectrum of TP53 gene sequence variants based on G:C>T:A and G:C>C:G transversions in peripheral blood cells of the Techa riverside residents of the Chelyabinsk and Kurgan Oblasts, affected by chronic low-dose rate exposure in the 1950s. The range of individual values of the accumulated absorbed dose to red bone marrow due to external gamma radiation and 90 Sr ranged from 2.1 to 2742.0 mGy (mean value – 605.4 ± 191.9 mGy ($M \pm SE$)). As a result of the study, 7 different variants of the TP53 gene based on the G:C>T:A and G:C>C:G transversions, which are single nucleotide replacements, were identified in the examined individuals. All detected variants were present in the IARC TP53 Database and had no clinical significance as "pathogenic" or "probably pathogenic". Differences in the frequencies of carriers of detected TP53 gene variants between the comparison group and the main group did not reach a statistically significant level/ were not statistically significant.

Keywords: TP53, rs77697176, Sanger sequencing, Techa River, chronic exposure, low and medium doses

ИНФОРМАЦИЯ ОБ АВТОРАХ

Никифоров Владислав Сергеевич (Vladislav S. Nikiforov), https://orcid.org/0000-0002-6685-1823, "Уральский научно-практический центр радиационной медицины" ФМБА России, Челябинск, Россия (Urals Research Center for Radiation Medicine, Chelyabinsk, Russia); ФГБОУ ВО "Челябинский государственный университет" (Chelyabinsk State University, Chelyabinsk, Russia); e-mail: nikiforovx@mail.ru

Кореченкова Анастасия Витальевна (Anastasiya V. Korechenkova), https://orcid.org/0009-0008-6588-3517, "Уральский научно-практический центр радиационной медицины" ФМБА России, Челябинск, Россия (Urals Research Center for Radiation Medicine, Chelyabinsk, Russia):

e-mail: korechenkova@urcrm.ru

Аклеев Александр Васильевич (Alexander V. Akleyev), https://orcid.org/0000-0003-2583-5808, "Уральский научнопрактический центр радиационной медицины" ФМБА России, Челябинск, Россия (Urals Research Center for Radiation Medicine, Chelyabinsk, Russia); ФГБОУ ВО "Челябинский государственный университет" (Chelyabinsk State University, Chelyabinsk, Russia); e-mail: akleyev@urcrm.ru

ВКЛАЛ АВТОРОВ

- В.С. Никифоров планирование исследования, выполнение лабораторных методов исследования, написание статьи.
- А.В. Кореченкова статистическая обработка результатов, редакция текста статьи и подготовка окончательного варианта статьи.
- А. В. Аклеев редакция текста статьи и подготовка окончательного варианта статьи.